

НЕСТАЦИОНАРНАЯ ЗАДАЧА
ФРИКЦИОННОГО КОНТАКТА ДЛЯ ЦИЛИНДРА
С УЧЕТОМ ТЕПЛОВЫДЕЛЕНИЯ И ИЗНОСА

УДК 539.3

Ю. А. Пырьев, Д. В. Грилицкий

Львовский государственный университет им. И. Франко, 290602 Львов

Механическое взаимодействие деталей машин неизбежно сопровождается трением и их изнашиванием. Проблемы трения и износа являются фундаментальным аспектом обеспечения высокой производительности, надежности и долговечности машин и механизмов. Важное место занимает проблема исследования неустойчивости контактных параметров (давления, температуры, термоупругих деформаций, износа и др.), что приводит к нарушению нормальной работы трибосопряжения.

Цель данной работы — построение и анализ нестационарного решения задачи термоупругого контакта цилиндра с жесткой обоймой в условиях фрикционного разогрева и абразивного износа, а также исследование характерных особенностей этой модели, в частности термоупругой неустойчивости (ТУН). На этой модельной задаче в [1] при пренебрежении теплообразованием проанализировано влияние различных видов коэффициентов изнашивания на величину износа. Исследование ТУН в конструкциях типа радиальных уплотнителей в условиях отсутствия износа проведено в [2]. Особенности характеристик термоупругого контакта изучались в [3] на примере двух контактирующих цилиндров при их относительном вращении. Задачи фрикционного контакта рассматривались, как правило, при заданных сжимающих усилиях и в стационарной постановке [4, 5].

Будем предполагать, что область контакта и геометрия контактирующих тел таковы, что можно принять одномерную модель. Применение одномерных моделей оправдано возможностью проследить на них характерные моменты, присущие реальным узлам трения [1, 5, 6].

1. Постановка задачи. Упругий теплопроводящий цилиндр радиуса r_0 вставлен с натяжением u_0 в жесткую обойму (рис. 1). Цилиндр вращается с постоянной угловой скоростью ω вокруг оси z . В области контакта цилиндра с обоймой возникает сила трения $F = 2\pi r_0 f p$, и как следствие происходит тепловыделение и изнашивание его поверхности. Принимаем закономерность абразивного износа согласно [1, 7]. Между цилиндром и обоймой происходит теплообмен по закону Ньютона.

В нашем случае, когда перемещение цилиндра по оси z равно нулю, а перемещения u_r являются функцией только времени t и радиальной координаты r , надо определить температуру $\theta(r, t)$, контактное давление $p(t)$ и износ цилиндра $u_w(t)$.

Для решения задачи необходимо проинтегрировать систему дифференциальных уравнений квазистатической несвязанной термоупругости [8]

$$\begin{aligned} \frac{\partial^2}{\partial r^2} u_r(r, t) + \frac{1}{r} \frac{\partial}{\partial r} u_r(r, t) - \frac{1}{r^2} u_r(r, t) &= \alpha \frac{1+\nu}{1-\nu} \frac{\partial}{\partial r} \theta(r, t), \\ \frac{\partial^2}{\partial r^2} \theta(r, t) + \frac{1}{r} \frac{\partial}{\partial r} \theta(r, t) &= k^{-1} \frac{\partial}{\partial t} \theta(r, t), \quad r \in (0, r_0), \quad t \in (0, t_c) \end{aligned} \tag{1.1}$$

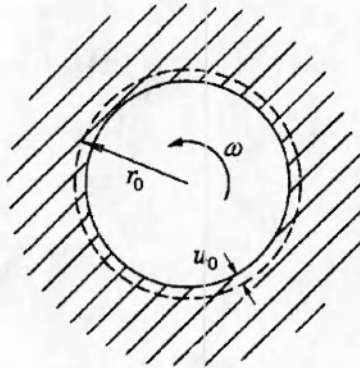


Рис. 1

при механических условиях

$$u_r(0, t) = 0, \quad u_r(r_0, t) = -u_0 + u_w(t), \quad t \in (0, t_c), \quad (1.2)$$

тепловых

$$2\pi r \lambda \frac{\partial}{\partial r} \theta(r, t) \rightarrow 0, \quad r \rightarrow 0, \quad \lambda \frac{\partial}{\partial r} \theta(r_0, t) + \alpha_\theta \theta(r_0, t) = f \omega r_0 p(t), \quad t \in (0, t_c) \quad (1.3)$$

и начальных условиях

$$\theta(r, 0) = 0, \quad r \in (0, r_0). \quad (1.4)$$

Износ цилиндра, пропорциональный работе сил трения [1, 7],

$$u_w(t) = K_w \omega r_0 \int_0^t p(\eta) d\eta, \quad 0 < t < t_c. \quad (1.5)$$

Радиальные напряжения для цилиндра определяются по формуле

$$\sigma_r = \frac{E}{1-2\nu} \left[\frac{1-\nu}{1+\nu} \frac{\partial}{\partial r} u_r + \frac{\nu}{1+\nu} \frac{1}{r} u_r - \alpha \theta \right].$$

В (1.1)–(1.5) \$E\$ — модуль Юнга; \$\nu\$, \$\lambda\$, \$k\$, \$\alpha\$, \$f\$, \$\alpha_\theta\$, \$K_w\$ — коэффициенты Пуассона, теплопроводности, температуропроводности, температурного расширения, трения, теплообмена, износа материала цилиндра; \$p(t) = -\sigma_r(r_0, t)\$ — контактное давление. Время контакта \$t_c\$ определяется как время, при котором контактное давление неотрицательно, т. е. \$p(t) \geq 0\$ при \$t \in (0, t_c)\$.

2. Представление решения. Введем безразмерные величины

$$R = r/r_0, \quad \tau = t/t_*, \quad \Omega = 2E\alpha k/[\lambda(1-2\nu)], \quad v = \omega f \Omega / \omega_*, \quad \tau_c = t_c/t_*,$$

$$Bi = \alpha_\theta r_0 / \lambda, \quad \xi = K_w E_1 / f \Omega, \quad E_1 = E / [(1+\nu)(1-2\nu)]$$

и характерные параметры

$$t_* = \omega_*^{-1} = r_0/k^2, \quad p_* = E_1 u_0 / r_0, \quad \theta_* = u_0 / [2\alpha(1+\nu)r_0].$$

С помощью интегрального преобразования Лапласа [9] решение граничной задачи (1.1)–(1.5) запишем в виде

$$\theta(R, \tau) = \theta_* v \sum_{m=1}^{\infty} \frac{\Delta_3(R, s_m)}{\Delta'(s_m)} \exp(s_m \tau), \quad p(\tau) = p_* v \sum_{m=1}^{\infty} \frac{\Delta_2(s_m)}{s_m \Delta'(s_m)} \exp(s_m \tau), \quad (2.1)$$

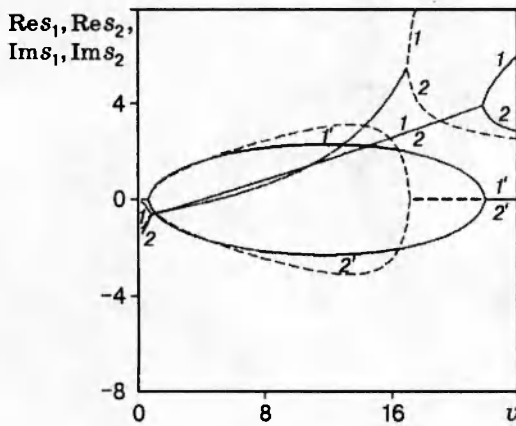


Рис. 2

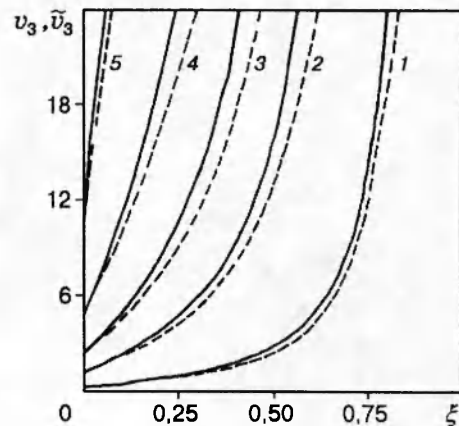


Рис. 3

$$u_w(\tau) = u_0 \left[1 + v \sum_{m=1}^{\infty} \frac{\xi \Delta_1(s_m)}{s_m \Delta'(s_m)} \exp(s_m \tau) \right],$$

где

$$\Delta'(s_m) = \frac{d}{ds} \Delta(s) \Big|_{s=s_m} = 0,5 \left\{ D_m [(Bi + 2)s_m + v\xi Bi] + C_m [2Bi + s_m + v(\xi - 1)] \right\};$$

$\Delta_1(s_m) = Bi C_m + s_m D_m$; $\Delta_3(R, s_m) = I_0(R\sqrt{s_m})$; $\Delta_2(s_m) = s_m D_m - \xi \Delta_1(s_m)$; $\Delta(s) = s\Delta_1(s) - v\Delta_2(s)$; $D_m = I_1(\sqrt{s_m})/\sqrt{s_m}$; $C_m = I_0(\sqrt{s_m})$; $m = 1, 2$; $I_n(x)$ — модифицированные функции Бесселя первого рода n -го порядка; s_m — корни характеристического уравнения $\Delta(s) = 0$ ($m = 1, 2, \dots$). Исследования показывают, что, как правило, $\text{Im } s_m = 0$ при $m = 3, 4, \dots$, а при $m = 1, 2$ корни в зависимости от параметров задачи лежат в правой или левой комплексной полуплоскости s .

Если $\xi < \xi_1$ ($\xi_1 = 1/(1 + Bi/2)$), корни при $v < v_2$ отрицательные, при $v_2 < v < v_1$ комплексно-сопряженные с отрицательной действительной частью, при $v_1 < v < v_3$ комплексно-сопряженные с положительной действительной частью, при $v_3 < v$ положительные. Зависимости действительной и мнимой части корней s_1 и s_2 от безразмерной скорости v представлены на рис. 2 сплошными линиями ($\xi = 0,4$, $Bi = 1$). Кривые 1 и 1' (2 и 2') соответствуют действительной и мнимой части корня s_1 (s_2).

При $\xi > \xi_1$ корни s_1 и s_2 всегда лежат в левой комплексной полуплоскости s , причем при $v < v_2$ они отрицательные, при $v_2 < v < v_3$ комплексно-сопряженные, при $v_3 < v < v_4$ опять отрицательные, при $v_4 < v$ корни s_2 и s_3 комплексно-сопряженные, а корень s_1 отрицательный. Таким образом, при $v = v_m$ ($m = 1,4$) меняются свойства корней характеристического уравнения.

Зависимость скорости v_3 от параметра ξ для разных значений Bi представлена на рис. 3 сплошными линиями. Кривые 1-5 соответствуют $Bi = 0,1; 0,5; 1,0; 2,0; 5,0$.

С величиной $\pi/\text{Im } s_1$ можно связать время контакта τ_c : чем больше $\text{Im } s_1$, тем меньше время контакта. Величина $\text{Re } s_1 > 0$ отображает закономерность возрастания характеристик контакта и их экстремальные значения.

Раскладывая функцию $\Delta(s)$ в окрестности нуля в степенной ряд, для малых значений

s корни s_1 и s_2 можно записать в виде

$$s_{1,2} = \frac{v(1 - \xi/\xi_1) - v_0 \pm \sqrt{v^2(1 - \xi)^2 - 2vv_0(1 + \xi/\xi_1) + v_0^2}}{2/\xi_1 - v(1 - \xi/\xi_2)/4}, \quad (2.2)$$

$$\xi_2 = (1 + Bi/4)^{-1}, \quad v_0 = 2Bi.$$

Изменение действительной и мнимой части приближения корней s_1 и s_2 в зависимости от безразмерной скорости v приведено на рис. 2 ($\xi = 0,4$, $Bi = 1$) штриховыми кривыми.

Соотношения (2.2) позволяют написать приближенные выражения для значений v_m , $m = 1, 2, 3$. Так, $v_m \approx \tilde{v}_m$, $m = 1, 2, 3$, где

$$\tilde{v}_1 = \frac{v_0\xi_1}{\xi_1 - \xi}, \quad \tilde{v}_m = v_0 \frac{1 + \xi/\xi_1 \mp 2\sqrt{\xi(1 + \xi Bi/4)/\xi_2}}{(1 - \xi)^2}, \quad m = 2, 3.$$

Зависимость безразмерной скорости \tilde{v}_3 от параметра ξ для разных значений Bi представлена на рис. 3 штриховыми линиями. Кривые 1–5 соответствуют $Bi = 0,1; 0,5; 1,0; 2,0; 5,0$.

3. Анализ решения. С учетом свойств [9] трансформант Лапласа решений получены асимптотики характеристик термоупругого контакта в начальный момент времени:

$$\theta(1, \tau)/\theta_* = v2\sqrt{\tau/\pi} + O(\tau^{1,5}), \quad p(\tau)/p_* = 1 + v(1 - \xi)\tau + O(\tau^2), \quad u_w(\tau)/u_0 = v\xi\tau + O(\tau^2).$$

Проанализируем частные случаи. При отсутствии теплоотдачи ($Bi = 0$) контактное давление и износ для произвольного момента времени приобретают простой вид

$$p(\tau)/p_* = \exp[-v(\xi - 1)\tau], \quad u_w(\tau)/u_0 = \xi \{1 - \exp[-v(\xi - 1)\tau]\}/(\xi - 1),$$

при идеальной теплоотдаче ($Bi = \infty$)

$$p(\tau)/p_* = \exp(-\beta\tau), \quad u_w(\tau)/u_0 = 1 - \exp(-\beta\tau), \quad \beta = v\xi.$$

Такой же вид имеют характеристики контакта при малых скоростях относительного движения, если пренебречь тепловыделением ($f \rightarrow 0$).

Приведем результаты исследований данной задачи на основе анализа решений (2.1) и поведения корней характеристического уравнения. Параметр $\xi = \lambda K_w/2f\alpha k(1 + \nu)$ характеризует иерархию износа и теплового расширения.

В случае отсутствия износа ($\xi = 0$) при скорости v меньше критической v_0 со временем контактное давление и температура выходят на стационарный режим:

$$p_c = p_*v_0/(v_0 - v), \quad \theta_c(R) = \theta_*2v/(v_0 - v),$$

поскольку генерация тепла и его теплоотдача в системе взаимокомпенсируются. При скорости v выше критической v_0 происходит рост температуры и контактного давления по экспонциальному закону. Система не успевает охлаждаться, и наступает фрикционная ТУН, т. е. при незначительном внешнем возбуждении системы (в нашем случае — сжатии вращающегося цилиндра) происходит экспоненциальное возрастание температуры и контактного давления.

При $0 < \xi < \xi_1$, т. е. когда тепловое расширение превышает износ и $v \leq v_2$, время контакта $\tau_c = \infty$ и характеристики контакта со временем стремятся к своим стационарным значениям: $p_c = 0$, $\theta_c(R) = 0$, $u_w = u_0$. Чем ближе v к v_2 , тем больше увеличивается время выхода на стационарный режим. При $v_2 < v < v_3$ время контакта ограничено. Ми-

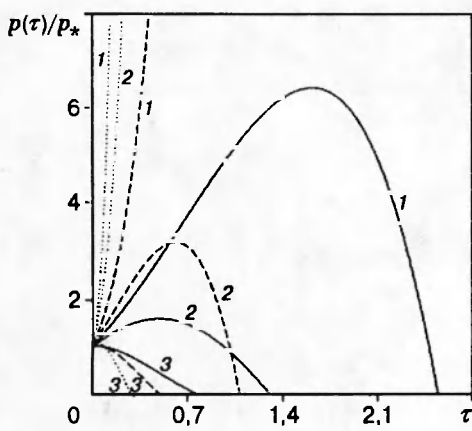


Рис. 4

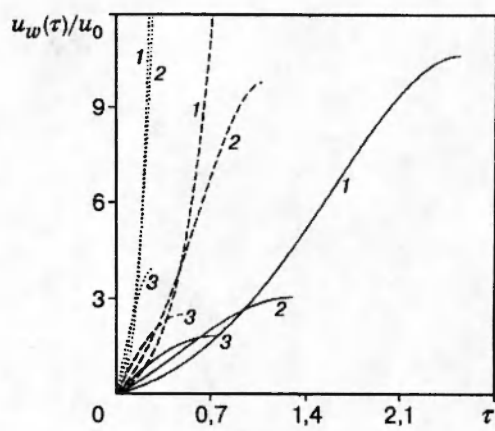


Рис. 5

нимальное время контакта будет при скоростях $v \sim (v_2 + v_3)/2$, т. е. когда максимальное значение приобретает величина $\text{Im} s_1$. При приближении скорости v к v_3 максимальные значения характеристик контакта увеличиваются. При скорости v больше критической v_3 (области выше соответствующих кривых на рис. 3) наблюдается фрикционная ТУН, т. е. характеристики контакта экспоненциально возрастают по закону $\exp(s_1\tau)$.

При $\xi \geq \xi_1$, т. е. когда износ больше температурного расширения и $v \leq v_2$, характеристики контакта со временем стремятся к стационарному решению задачи. При $v \geq v_2$ ($\text{Bi} > 0$) время контакта τ_c ограничено, несмотря на то что формально стационарное решение существует. С ростом скорости скольжения время контакта уменьшается.

Контактное давление при $\xi \geq 1$ всегда монотонно стремится к нулю в отличие от случая $0 < \xi < 1$, когда оно при отсутствии термоупругой неустойчивости имеет максимум.

4. Результаты расчетов. Для иллюстрации теоретических исследований поведения характеристик контакта проведен численный анализ решения задачи для разных значений коэффициента ξ , который характеризует величину износа, и разных скоростей v ; параметр $\text{Bi} = 1$ ($\xi_1 = 0,67$).

Значения параметров обезразмеривания в случае стального цилиндра ($\alpha = 14 \cdot 10^{-6} \text{ }^{\circ}\text{C}^{-1}$, $\lambda = 21 \text{ Вт}/(\text{м} \cdot \text{ }^{\circ}\text{C})$, $k = 5,9 \cdot 10^{-6} \text{ м}^2/\text{с}$, $\nu = 0,3$, $E = 190 \cdot 10^9 \text{ Па}$) при $r_0 = 3 \cdot 10^{-2} \text{ м}$, $u_0 = 1 \cdot 10^{-6} \text{ м}$ следующие: $t_* = 153 \text{ с}$, $p_* = 1,22 \cdot 10^7 \text{ Па}$, $\theta_* = 0,92 \text{ }^{\circ}\text{C}$.

На рис. 4 и 5 показаны зависимости контактного давления $p(\tau)/p_*$ и износа $u_w(\tau)/u_0$ от безразмерного времени τ (числа Фурье). Сплошные кривые соответствуют безразмерной скорости $v = 5$, штриховые — $v = 10$, пунктирные — $v = 25$. Кривые 1–3 отвечают $\xi = 0,2; 0,4; 0,8$.

При $\xi = 0,2$ $v_3 = 8$, $v_2 = 0,9$, $v_1 = 2,7$ ($\tilde{v}_3 = 7,3$, $\tilde{v}_2 = 0,9$, $\tilde{v}_1 = 2,9$). При $v > v_3$ наступает ТУН (штриховые и пунктирные кривые).

При $\xi = 0,4$ $v_3 = 21,9$, $v_2 = 0,65$, $v_1 = 4,1$ ($\tilde{v}_3 = 17,1$, $\tilde{v}_2 = 0,65$, $\tilde{v}_1 = 5$). ТУН наблюдается при $v > v_3$ (пунктирные кривые). С ростом скорости времени контакта уменьшается, максимальные значения контактного давления и температуры увеличиваются, возрастает износ.

При $\xi = 0,8$ для всех значений скорости v ТУН отсутствует. С ростом скорости времени контакта уменьшается, увеличиваются максимальное значение контактной температуры и износ.

При фиксированной скорости рост коэффициента износа ξ приводит к уменьшению времени контакта, более интенсивному росту износа на начальном этапе и к уменьшению окончательной величины износа, а также к уменьшению времени контакта.

Подытожим некоторые результаты.

1. В явном виде построено и проанализировано решение пространственно одномерной задачи фрикционного контакта.

2. Определены условия возникновения фрикционной термоупругой неустойчивости: $v_i \in [0, \infty)$, $\xi \in [0, \xi_1)$, $v \in [v_3, \infty)$.

3. Учет износа приводит к тому, что критическое значение скорости v_3 , при которой возникает термоупругая неустойчивость, возрастает, а при $\xi > \xi_1$, т. е. когда преобладает износ над термоупругим расширением, фрикционная ТУН вообще исчезает. Таким образом, для данной модели износ выступает стабилизирующим фактором, что подтверждает результаты [2].

4. Для данной модели фрикционного контакта ТУН возникает тогда, когда нули характеристического уравнения расположены не только в правой комплексной полуплоскости параметра преобразования Лапласа s ($v > v_1$, $\xi < \xi_1$), но и тогда, когда имеют нулевую минимую часть ($v \geq v_3$). Последнее условие отличает полученные условия от общепринятых.

5. Определены аналитические выражения для характерных скоростей, что позволяет прогнозировать поведение во времени характеристик фрикционного контакта.

ЛИТЕРАТУРА

- Горячева И. Г., Добычин М. Н. Контактные задачи в трибологии. М.: Машиностроение, 1988.
- Моров В. А. Анализ термоупругой неустойчивости в трибосистемах типа подвижных уплотнителей при осесимметричном возмущении // Исследование триботехнических систем в условиях холодного климата: Сб. науч. тр. Якутск: ЯФ СО АН СССР, 1985.
- Гриліцький Д. В., Кульчицький-Жигайлло Р. Д. Плоска контактна задача термопружності для двошарового круглого порожнистого циліндра з теплоутворенням // Физ.-хим. механика материалов. 1994. № 6. С. 24–30.
- Александров В. М., Коваленко Е. В. Методы решения контактных задач термоупругости с учетом износа взаимодействующих поверхностей // ПМТФ. 1985. № 3. С. 129–131.
- Александров В. М., Аннакурова Г. К. Контактная задача термоупругости с учетом износа и тепловыделения от трения // Трение и износ. 1990. Т. 11, № 1. С. 24–28.
- Коровчинский М. В. Основы теории термического контакта при локальном трении. Ч. 1 // Новое в теории трения. М.: Наука, 1966.
- Archard J. F. The temperature of rubbing surfaces // Wear. 1959. V. 2, N 6. P. 438–455.
- Коваленко А. Д. Термоупругость. Киев: Вища шк., 1975.
- Мартыненко В. С. Операционное исчисление. Киев: Вища шк., 1973.

Поступила в редакцию 21/VIII 1995 г.